

VIGILANCIA SINÓPTICA DE SUDAMÉRICA

JUNIO 2019



RESUMEN MENSUAL

Fig. 1

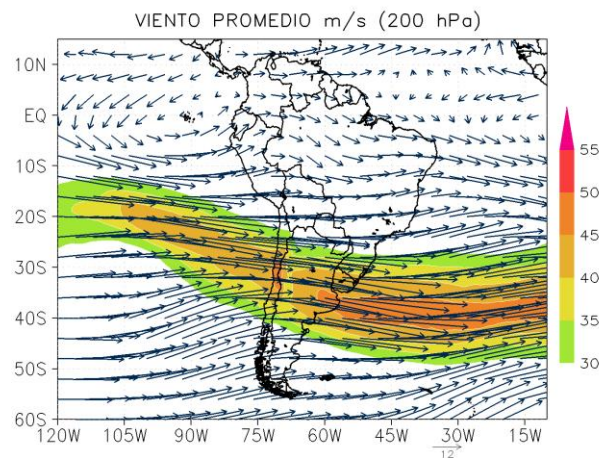


Fig. 2

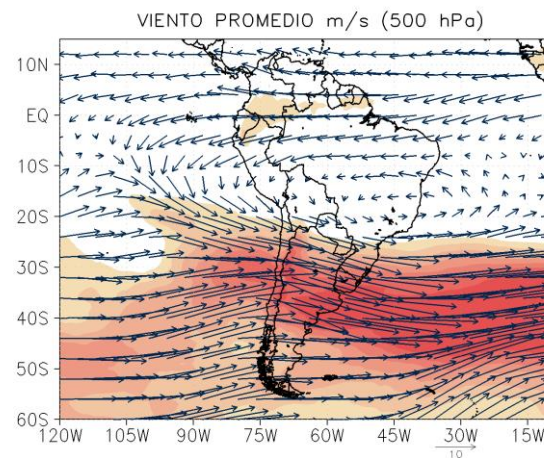
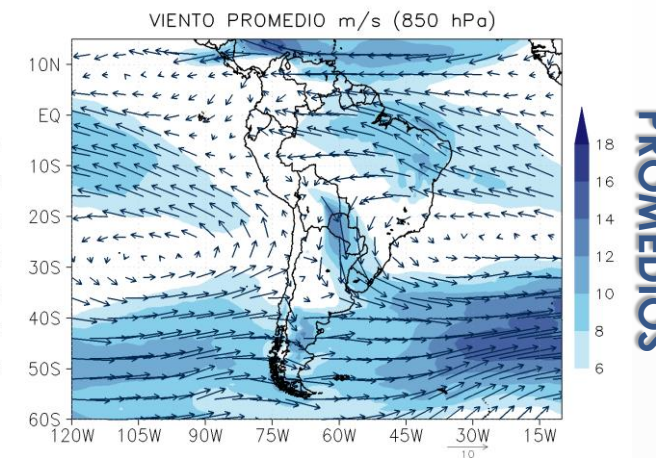


Fig. 3



PROMEDIOS

En **niveles altos**, un patrón de vaguada postfrontal domina sobre el país, condición que favorece la convergencia a escalas sinópticas. La corriente en chorro refuerza el gradiente y las circulaciones ageostróficas sobre Chile, Argentina y Uruguay.

En el promedio de viento de **niveles medios**, domina una circulación anticiclónica sobre el Perú a consecuencia de la convergencia de niveles superiores. Sobre el sur del continente, el gradiente intenso del viento favorece la subsidencia sobre el sur de Bolivia y norte de Argentina, y permite la intensificación del Jet de Bajos Niveles Sudamericano (SALLJ).

En **niveles bajos**, el Anticiclón del Pacífico Sur (APS) se observó, en promedio, con valores de presión por encima de su normal, pero en su posición habitual, situación que ha favorecido la intensificación del jet costero aunque alejado de las costas. Por otro lado, en continente, los menores valores de agua precipitable en la zona central de Sudamérica se ven favorecidos por la convergencia del flujo dirigido hacia latitudes ecuatoriales y boreales, así como por la subsidencia reforzada de niveles medios.

Fig. 4

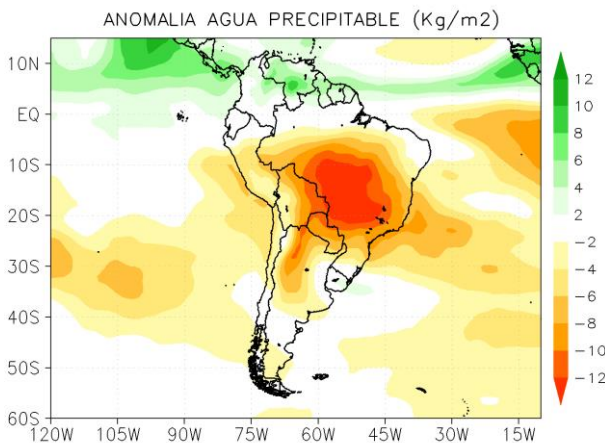
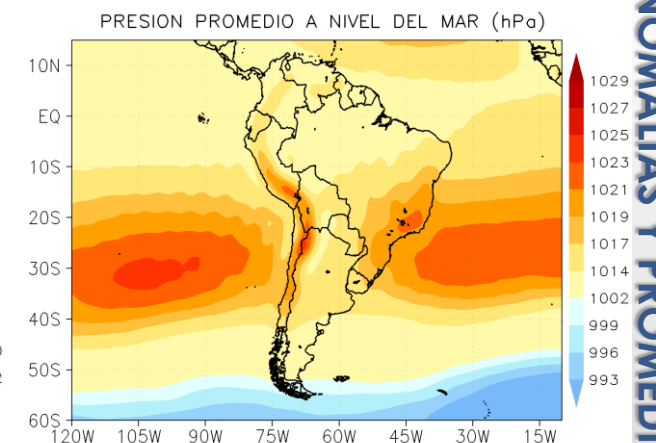


Fig. 5



ANOMALÍAS Y PROMEDIOS

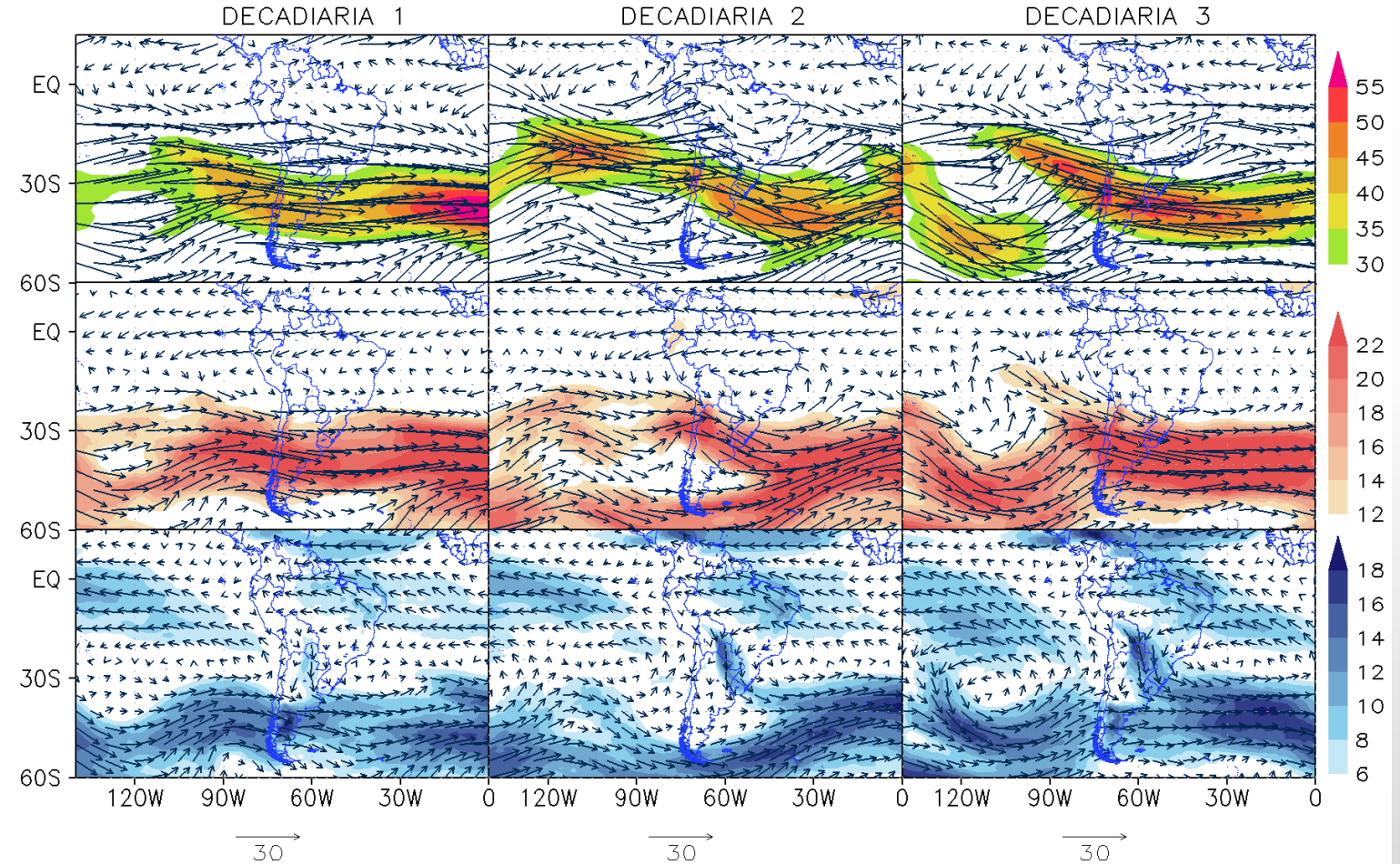
DECADIARIAS

Fig. 6

Durante la **1ra decadiaria**, en niveles altos, con dominio de sistemas de vaguada postfrontal sobre el país, situación que apoya la convergencia a gran escala y favorece la dorsal de niveles medios. En niveles bajos, con presencia de incremento de viento costa afuera en el Pacífico.

Durante la **2da decadiaria**, el patrón de vaguada se amplifica hasta latitudes ecuatoriales y sobre el territorio, condición que apoya el acercamiento de la corriente en chorro subtropical y por tanto, la advección fría sobre latitudes tropicales. En niveles medios, una vaguada dominante al sur del Perú, reflejo de niveles altos, permite la intensificación del SALLJ en niveles superficiales.

En la **3ra decadiaria**, el patrón de vaguada se posiciona con orientación NO-SE sobre el Pacífico, situación que apoya la inestabilización del territorio en conjunto con la circulación anticiclónica de niveles medios. En niveles bajos, la convergencia a gran escala de niveles superiores, permite mantener intensificado el SALLJ.



PRESIÓN REDUCIDA A NIVEL DEL MAR

Fig. 7

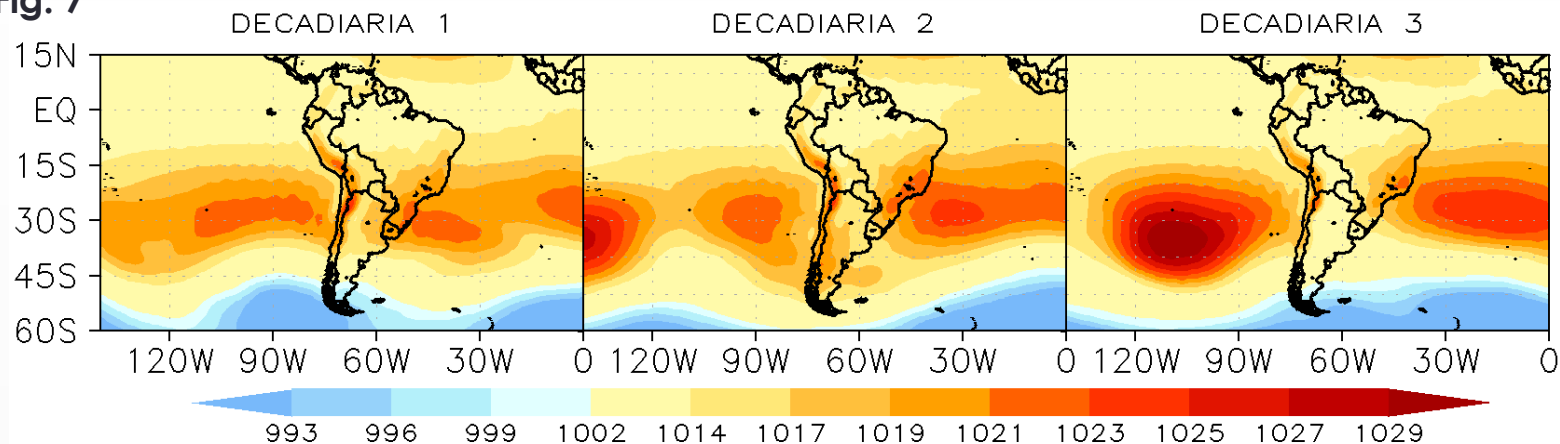
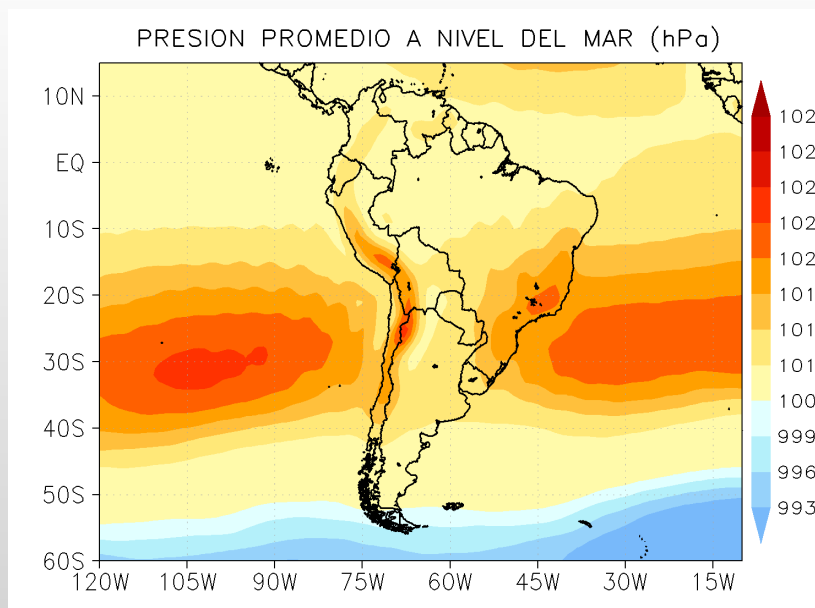


Fig. 8



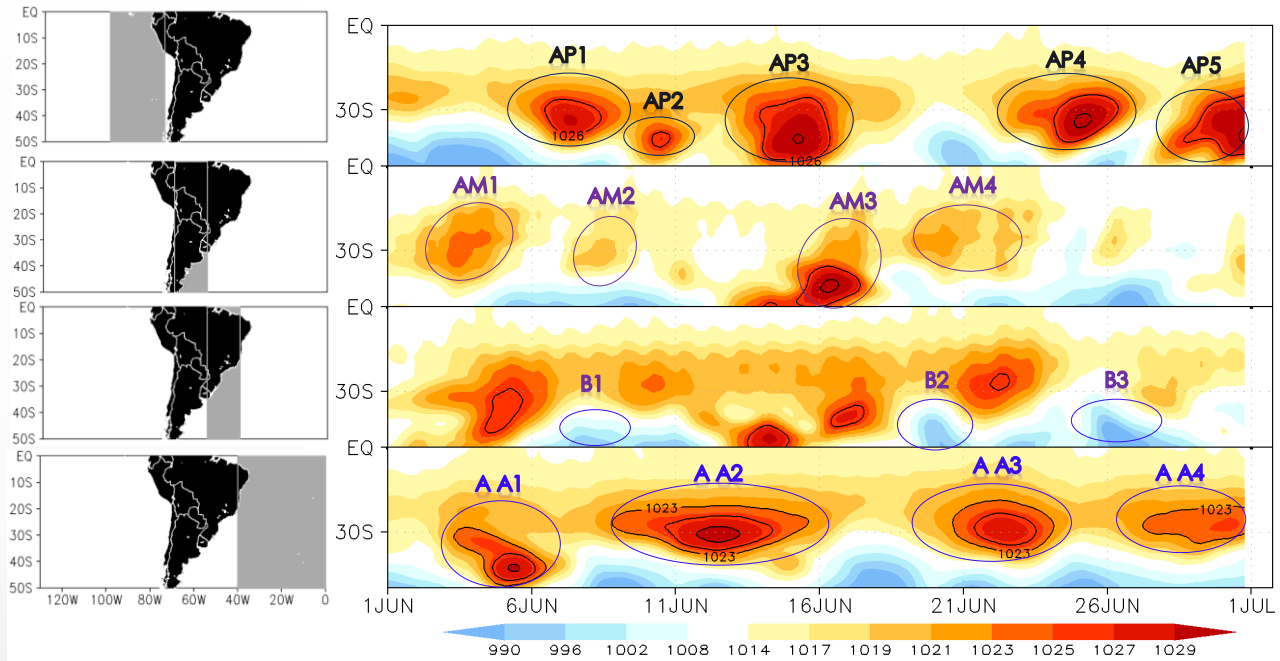
En la **primera decadiaria**, el Anticiclón del Pacífico Sur (APS) presentó valores de presión atmosférica dentro de su normal, en similitud con el Anticiclón del Atlántico Sur (AAS). Resaltar la configuración de un Anticiclón Migratorio (AM) frente a la costa sur de Brasil, patrón que apoya el ingreso de un friaje a la selva peruana durante los primeros días del mes (Ver Aviso 2019-N°79).

En la **segunda decadiaria**, el APS mantiene valores de presión promedio similares a la primera decadiaria, pero con una mayor orientación meridional, condición que refuerza la advección fría sobre la costa occidental sudamericana.

En la **tercera decadiaria**, tanto el núcleo del APS como del AAS se intensifican. El APS alcanza valores superiores a los 1029 hPa, aunque su núcleo se desplaza hacia el oeste de su posición normal, condiciones que favorecen el incremento de viento costa afuera.

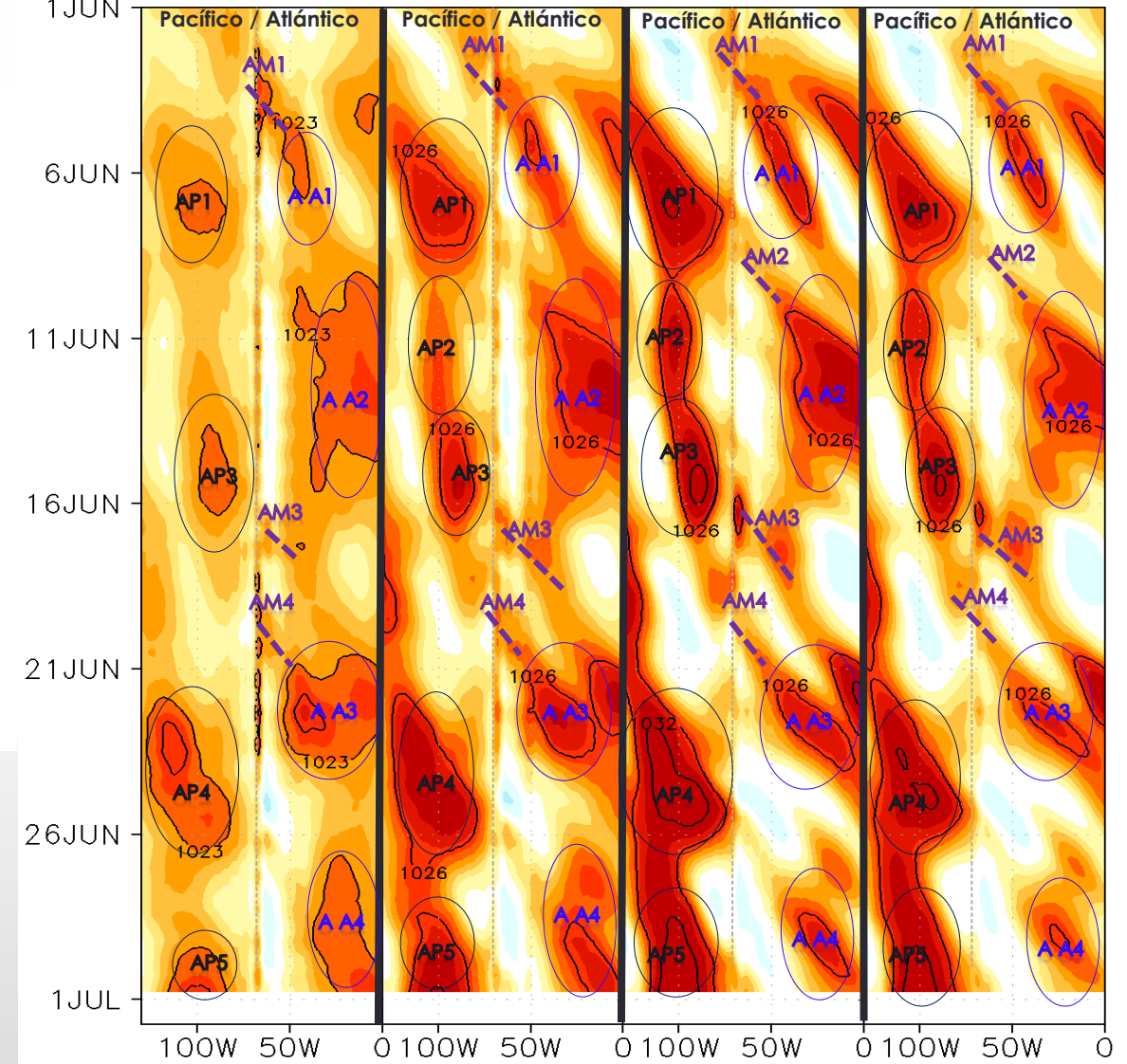
HOVMOLLER PRESIÓN

Fig. 9



En el mes de junio, se resaltan 4 núcleos intensos del APS, todos superiores a los 1027 hPa. De la misma manera, se observaron 4 núcleos intensos del AAS, siendo el más intenso el presentado durante la segunda decadiaria, el cual alcanza valores superiores a los 1029 hPa. Por otro lado, se presentó 4 AMs, siendo el AM1, el Anticiclón Térmico que alcanza una mayor extensión hacia el norte, situación que favorece el ingreso del cuarto friaje del año al Perú, en conjugación con la baja de bloqueo B1.

Fig. 10
HOVMOLLER PRESIÓN
N
PROMEDIOS: 20S-25S 25S-30S 30S-35S 35S-40S
S

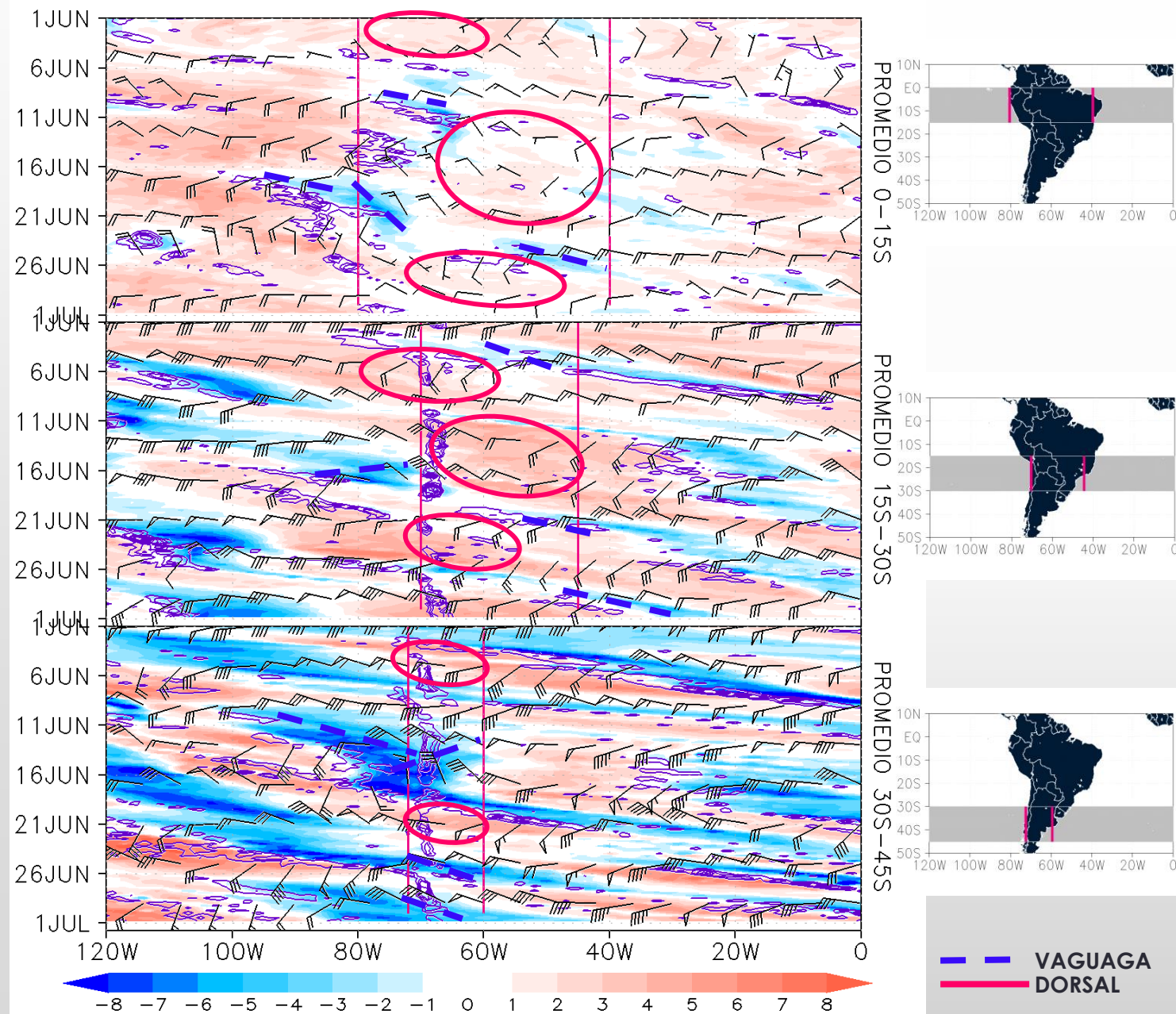


NIVELES ALTOS

- En latitudes tropicales (0-15°S), dominó la vorticidad anticiclónica en continente durante la primera y tercera decadiaria, sin embargo, vaguadas de mayor amplitud se presentan durante la segunda decadiaria, las que favorecen la inestabilización de regiones en el país.
- En latitudes entre 15 y 30°S, en similitud con regiones tropicales, se observan vaguadas durante la segunda decadiaria, condición que refuerza las circulaciones ageostróficas sobre el sur de Bolivia, Paraguay y norte de Argentina.
- En latitudes mayores (30-45°S), predominan las circulaciones ciclónicas durante el periodo, siendo la vorticidad negativa más intensa (negativa) durante la segunda decadiaria, situación que permite la formación de vaguadas profundas y/o DANA.

Fig. 11

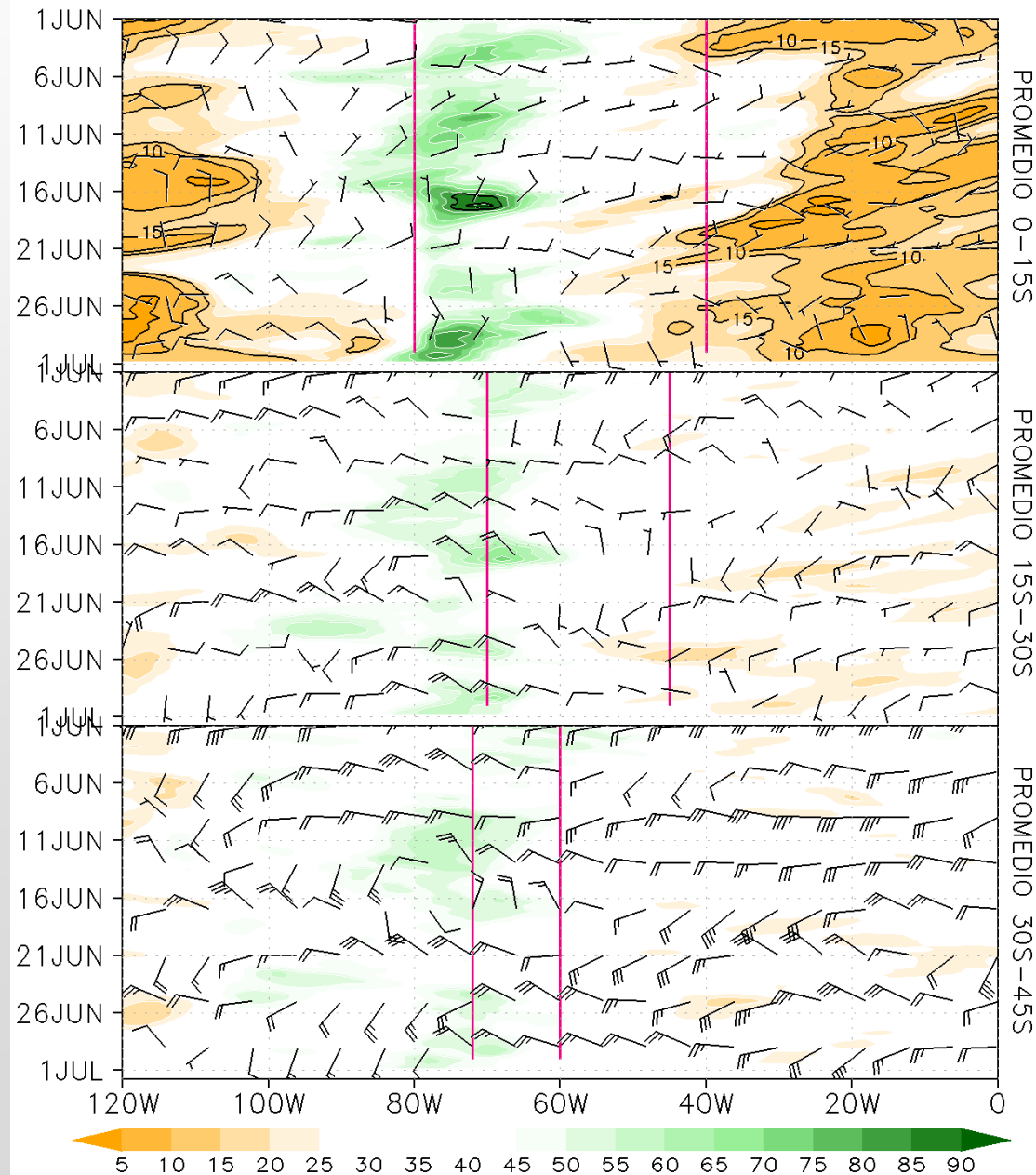
HOVMOLLER VORTICIDAD RELATIVA (sombreado) Y VIENTO (barbas) EN 200 hPa



NIVELES MEDIOS

- En latitudes tropicales (0-15°S), se presentó mayores valores de humedad locales durante la segunda y tercera decadiaria, situación favorecida por la intensificación de vientos zonales desde la Amazonia y a los patrones de vaguadas presentes.
- En la zona central de Sudamérica (15-30°S) así como en latitudes extratropicales (30-45°S), los mayores valores de humedad localizados también corresponden a la presencia de vaguadas durante las últimas decadiarias así como a la configuración divergente de la corriente en chorro.

Fig. 12 HOVMOLLER HUMEDAD RELATIVA PROMEDIO 500-600 (sombreado) Y VIENTO (barbas) 500 hPa PROMEDIO



NIVELES BAJOS

- En latitudes cercanas al Ecuador, se refleja valores de relación de mezcla superiores a los 12 g/Kg en la vertiente oriental peruana durante gran parte del periodo, pero con un mayor confluencia de vientos hacia el norte del país.
- En latitudes entre 15-30°S, resalta los mayores valores de relación de mezcla durante la segunda y tercera decadiaria en relación a la intensificación del Jet de Bajos Niveles Sudamericano (SALLJ).
- En latitudes extratropicales, se observa una ausencia de relación de mezcla en gran parte del periodo, situación que implicaría la ausencia del ingreso del SALLJ hacia dichas latitudes.

Fig. 13 HOVMOLLER RELACIÓN DE MEZCLA (g/kg) (shaded) Y VIENTO (barbas) 925 hPa PROMEDIO (barbas) 925 hPa PROMEDIO

